

Journal of Organometallic Chemistry 531 (1997) 47-59



Erzeugung, Stabilisierung und Reaktivität des Silaethens Me₂Si=C(SiMe₃)(Si^tBu₃)¹

Nils Wiberg *, Thomas Passler, Kurt Polborn 2

Institut für Anorganische Chemie der Universität München, Meiserstr. 1, D-80333 München, Germany Eingegangen 14 Mai 1996

Abstract

Sterically overloaded trisilylmethanes R '(Me₃Si)XMe₂XSi)CY = Me₂SiX-CYR '(SiMe₃) (X = H, Br, F, OH, OMe, OC_6F_3 , OTf, Me, "Bu, Pr, Y = H, Br, Me) with R 's supersilyl Si'Bu₃ are accessible via Me₂SiH-CHR '(SiMe₃) (from Me₂SiHC1 and LiCHR '(SiMe₃)). The latter compound reacts (i) with Br₃ to Me₂SiBr-CHR '(SiMe₃) which is transformed with AgF, H₂O, MeOH, C_6F_3 OLi, MeLi, "BuLi, PhLi into Me₂SiX-CHR '(SiMe₃) (X = F, OH, OMe, OC_6F_3 , Me, "Bu, Ph), (ii) with MeLi and then Br₂ to Me₂SiBr-CBrR '(SiMe₃) (X = F, OH, OTf). Compounds Me₂SiX-CBrR '(SiMe₃) (X = F, OH, OTf). Compounds Me₃SiX-CBrR '(SiMe₃) (X = F, OH, OTf). Compounds Me₃SiX-CBrR '(SiMe₃) (X = F, OH₆) react at room temperature with MeLi in THF mainly under H/Li and X/Me exchange. At -78° C, Me₂SiX-CHR '(SiMe₃) (X = OC₆F₃) is transformed by MeLi under exchange of a meta- or a para-fluorine of C_6F_3 by a Me group (X-ray structure analysis of the product with $X = p - OC_6F_4$ Me). In contrast, reaction of Me₂SiX-CBrR '(SiMe₂) (X = F, OTf) with PhLi or with "BuLi leads to Me₂SiR-CLiR '(SiMe₃) (R = Ph, "Bu), while Me₂SiF-CRR '(SiMe₃) reacts with 'Bu₃SiNa to Me₂SiF-CNaR '(SiMe₃). The latter compound transforms in THF in the presence of Me₂SiCl into the silaethene Me₂Si=CR '(SiMe₂), which after evaporation of THF isomerizes into a 1,3-disilacyclobutane [-SiMe₂-CH₂-SiMe₂-CHR '-1, while it may be trapped in THF solution by reactants like MeOH, Me₂CO, or CH₂=CMe-CMe=CH₂. It follows from our studies that the metastability of compounds Me₂Si=C(SiMe₂), XiSiMe₁, with an increasing number of 'Bu groups pass through a maximum for n = 2.

Keywords: Trisilylmethanes; Trisilylmethanides; Silaethene; Thermal stabilization; Reactions

1. Einleitung

Vor einigen Jahren konnten wir mit dem sterisch überladenen Silaethen 2 erstmals eine metastabile ungesättigte Siliciumverbindung mit normaler Polarisation der SiC-Doppelbindung (Si⁶⁺=C⁸⁻) isolieren und strukturell sowie chemisch charakterisieren [2,3]. Die Erzeugung von 2 erfolgte ausgehend von 'Bu_SiF-CLi(SiMe₃)₂ (erhältlich gemäß Gl. (1)(a)) durch Me₃SiC-linduzierte "thermische Salzeliminierung" auf

dem Wege über das zu 2 isomerisierende Silaethen 1 (Gl. (1)(b,c)):

Wie wir zudem feststellten, ist die Methylgruppenwanderung (Gl. (1) (c)) reversibel; allerdings liegt das Gleichgewicht fast vollständig auf der Seite 2 [4]. Ähnlich wie zwischen der SiMe Bu,- und SiMe,-Gruppe

^{*} Corresponding author.

¹ Mitteilung über Verbindungen des Siliciums. Zugleich 51. Mitteilung über ungesättigte Siliciumverbindungen. 110. (50.) Mitteilung: siehe Lit. [1].

² Crystal structure analysis.

von 2 vermögen die Methylgruppen gemäß Gl. (2) auch zwischen der SiMe₃- und SiMe₂-Gruppe der Verbindung hin- und herzuwandem, wobei zwischenzeitlich eine Methylgruppe wie im dimeren Trimethylaluminium (AlMe₃)₂ gleichzeitig mit zwei Metallzentren verknüpft vorliegt. Höchstwahrscheinlich stellt letztere Molekülform 2b, deren Bildung offensichtlich mit einer Abnahme sterischer Behinderungen verbunden ist, keinen Übergangszustand, sondem eine Zwischenstufe der Umlagerung dar. Sie ist demgemäß durch eine Delle im Energieprofil der Reaktion charakterisiert, wobei die "Tiefe" dieser Delle die Lebensdauer von 2b bestimmt.

Die Untersuchungen warfen u.a. die Frage auf, ob das Silaethen 3, welches aus 2 durch Ersatz einer Methyl- gegen eine sperrigere tert-Butylgruppe hervorgeht, wegen seiner stärkeren sterischen Überladung metastabiler wäre als 2, d.h. ob es erst bei höherer Temperatur thermolysieren würde als das Silaethen 2. welches - allerdings sehr langsam - bereits bei Raumtemperatur unter Isobuteneliminierung in zahlreiche Zerfallsprodukte übergeht (vgl. hierzu Lit. [5]). Auch interessierte im Zusammenhang mit den Silaethen 3, dessen Methylgruppen gemäß Gl. (3) zwischen der SiMe₃- und SiMe₃-Gruppe wandern sollten, die Beantwortung der Frage, ob etwa die große Sperrfigkeit der kohlenstoffgebundenen "Supersilylgruppe" Si'Bu, zu einer zusätzlichen energetischen Stabilisierung der Umlagerungszwischenstufe 3b führen würde, d.h. ob sich die Delle im Umlagerungsenergieprofil und damit die Lebensdauer der Zwischenstufe beim Ülbergang vom fluktuierenden System 2 zum System 3 vergrößert (im Grenzfall wäre 3b energieärmer als 3a und 3c und avancierte dann zum Grundzustand des fluktuierenden Systems).

(3)

Wir planten dementsprechend, 3 nach der Salzeliminierungsmethode zu erzeugen (Gl. (4)(a)), was die Synthese von Verbindungen des Typs 3· X/M (X = elektronegativer Rest; M = Alkalimetall) erforderte:

Als Vorstufen von 4 wurden die Verbindungen 3·X/H und 3·X/Br in Betracht gezogen, die wie in ähnlich gelagerten Fällen (vgl. Lit. [6]) durch Einwirkung von Metallorganylen oder -silylen RM wie MeLi, "BuLi, PhLi, 'Bu₃SiNa gemäß Gl. (4)(b) in 3·X/M umwandelbar sein sollten.

2. Darstellung von Trisilylmethanderivaten Me,SiX-CY(SiMe,)(Si'Bu,)

Die Darstellung sterisch überladener Verbindungen Me_SiX-CY(SiMe_3)(Si'Bu_3) (3 · X/Y) erfolgt mit Vorteil über das Trisilylmethan 3 · H/H. Dieses bildet sich durch sukzessiven Ersatz der Br-Atome von Bromoform gegen Silylgruppen. Und zwar setzt man zunächst aus CHBr3 mit 50%iger Kalilauge Dibromcarben in Anwesenheit von Supersilan 'Bu₃SiH in Freiheit, wobei sich intermediär gebildetes CBr₂ in die SiH-Bindung von 'Bu3SiH unter Bildung der Monosilylverbindung 4 insertiert [7]. Dann wird gebildetes 4 mit (Me₃Si)₂CHLi in Et₂O-THF bei -78°C lithiiert und das entstandene Lithiumorganyl 'Bu₃SiCHBrLi durch Einwirkung von Me₃SiCl in die Disilylverbindung 5 übergeführt. 3 Schließich verwandelt man das aus 5 durch Lithiierung mit PhLi in Et2O bei - 78 °C erhältliche Lithiumorganyl ('Bu 3Si)-

³ Es bilden sich neben 77% 5 zusätzlich 23% Protonierungsprodukt ¹Bu_SiCH_Br von intermediär gebildetem ¹Bu_SiCHBrLi (Protonierungspender möglicherweise ¹Bu_SiCHBrLi (Protonierungspender möglicherweise ¹Bu_SiCHBrL) verwendet man ¹BuLi anstelle von (Me_Si)₂CHLi als Lithiierungsmittel, so erhält man außer 54% 5 und 8% ¹Bu_SiCH_Br zusätzlich 22% (¹Bu_SiXMe_SiX)¹BuDCH (gebildet formal nach 5 + ¹BuLi + (¹Bu_SiXMe_SiX)†BuDCH + LiBr; (Me_Si)₂CHBr wirkt nicht alkylierend) und 16% ¹Bu₃SiCH=CHSi¹Bu₃ + ZLiBr; (Me_Si)₂CHLi hemmt offensichtlich die LiBr-Eliminierung aus ³Bu_SiCHBrLi).

(Me₃Si)CHLi mit Me₂HSiCl ohne Solvens bei 100°C in die Trisilylverbindung 3 · H/H.

$$^{\prime Bu_{3}Si\text{-}CHBr_{2}} \overset{Me_{3}Si}{\underset{\prime Bu_{3}Si}{\leftarrow}CHBr} \overset{Me}{\underset{K}{\leftarrow}} \overset{Sie-C}{\underset{Ke}{\leftarrow}} \overset{Sie-C}{\underset{Ke}{\rightarrow}H}$$

Brom führt 3·H/H in CCl₄ bei 0°C rasch und quantitativ in die Monobromverbindung 3·Br/H über, die sich jedoch nicht zur Dibromverbindung 3·Br/Br weiterbromieren läßt (das Trisilylmethan (Me₃Si)₂CH kann demgegenüber zu (Me₃Si)₂CBr bromiert werden [8]). 3·Br/Br ist aber über das Lithiumderivat Me₂SiH-CLi(SiMe₃)(Si'Bu₃) (3·H/Li) zugänglich, das sich aus 3·H/H bei Einwirkung von MeLi in THF

in Form eines THF-Addukts bildet und von Brom über die Monobromverbindung 3 · H/Br in die betreffende Dibromverbindung übergeführt wird (3 · H/Br ist aus 3 · H/Li und CBr, F, in Substanz erhältlich).

Von letzteren drei bromhaltigen Trisilylmethanen ließen sich eine Reihe von Derivaten synthetisieren. So kann $3 \cdot Br/H$ durch Reaktion mit AgF, H_2O , MeOH, LiOC₆F₅, MeLi, ⁿBuLi, PhLi in $3 \cdot F/H$, $3 \cdot OR/H$ (R = H, Me, C₆F₃) oder $3 \cdot R/H$ (R = Me, ⁿBu, Ph) umgewandelt werden.

Die Einwirkung von MeBr auf 3·H/Li (s.o.), die Vorstufe von 3·H/Br, führt zur Verbindung 3·H/Me, welche durch Br,-Einwirkung in die — ihrerseits mit KHF₂ in 3 · F/Me verwandelbare — Verbindung 3 · Br/Me übergeht:

Die Substanz $3 \cdot Br/Br$ kann schließlich durch Reaktion mit KHF_2 bzw. H_2O in $3 \cdot F/Br$ bzw. $3 \cdot OH/Br$ umgewandelt werden. Ein weiteres Derivat von $3 \cdot$

Br/Br stellt die aus $3 \cdot H/Br$ und Triflatsäure CF $_3$ SO $_3$ H=TfOH erhältliche Substanz $3 \cdot OTf/Br$ dar.

Die aufgeführten Verbindungen $3 \cdot X/Y$ fallen in Form farbloser Öle sowie Feststoffe an.

3. Metallierung von Trisilylmethanderivaten Me,SiX-CY(SiMe₃)(Si¹Bu₃)

Um die zur Erzeugung des Silaethens 3 benötigten Vorstufen 3 · X/M zu erhalten, setzten wir Me, SiX- $CH(SiMe_3)(Si^tBu_3)$ 3 · X/H (X = elektronegativer Rest) mit Metallorganylen bzw. -silylen um (vgl. Gl. (4)), nachdem wir vor einigen Jahren gefunden hatten [2], daß sich 'Bu₂SiF-CH(SiMe₃)₂ in THF mit MeLi unter Normalbedingungen glatt zu 'Bu2SiF-CLi(SiMe₃)₂ lithiieren läßt. Tatsächlich führt die Umsetzung von $3 \cdot X/H$ (X = F, OC₆F₅) mit Methyllithium in THF bei Raumtemperatur unter H/Li-Austausch (Gl. (5)(a)) zu den erwünschten Lithiumverbindungen 3 · X/Li. Zusätzlich bildet sich aber unter X/Me-Austausch (Gl. (5)(b)) das Trisilylmethan 3 · Me/H. Letztere, im Falle von 'Bu, SiF-CH(SiMe,)2 nicht beobachtete unerwünschte Substitution erfolgt im Falle von 3 · X/H wohl wegen der vergleichsweise geringen sterischen Abschirmung des mit Fluor verknüpften Siliciumatoms. Als weiteres Nebenprodukt entsteht schließlich noch die Verbindung 6 · Me/Li. Ihre Bildung wickelt sich wohl in Analogie zur Reaktion von Me, SiX-C(SiMe,), mit MeOLi in MeOH [9] auf den Wegen Gl. (5)(c) und Gl. (5)(d) über das Silaethen 6 ab, welches aus 3 · X/H formal durch Me, SiX-Eliminierung entsteht und durch MeLi-Addition verschwindet.

Führt man die erwähnte Metallierung nicht bei Raumtemperatur, sondern bei tiefen Temperaturen durch, so erhöht sich im Falle von 3 · F/H der Anteil der Metallierung (von ca. 30 auf 50% bei –30°C), während im Falle von 3 · OC₆F₅/H alle beobachteten Reaktionen zugunsten des Tauschs eines meta- oder

(5)

para-gebundenen F-Atoms des C_6F_5 -Rings gegen Methyl zurückgedrängt werden (für Einzelheiten hierzu und zur Struktur von $Me_2SiX-CH(SiMe_3)(Si^1Bu_3)$ mit $X = p-OC_4F_4$ Me vgl. Sektion 6).

Versuche, die unerwünschten Nebenreaktionen durch Verwendung sperriger Basen wie 'BuLi oder 'Bu₃SiNa zurückzudrängen, scheiterten, da die eingesetzten Agentien in keinem Falle die Edukte 3·X/H deprotonierten.

Rascher als der H/M-Austausch kohlenstoffgebundener H-Atome (also bei tieferen Temperaturen) folgt in der Regel der Br/M-Austausch kohlenstoffgebundener Br-Atome mit Metallorganylen oder -silylen. Setzt man allerdings Phenyllithium mit 3 · OTf/Br in Et2O bei -78°C um, so bildet sich nicht 3 · OTf/Li, sondern die Verbindung 3 · Ph/Li. In analoger Weise führt die Einwirkung von n-Butyllithium auf 3 · Br/Br in THF-Pentan bei -78°C nicht zu 3 · Br/Li, sondern in hoher Ausbeute zur Substanz 3. Bu/Li. Die Bildung der Produkte 3 · R/Li aus 3 · X/Br könnte hierbei entweder auf dem Wege eines Austauschs zunächst von X gegen R, dann von Br gegen Li (Gl. (6)(a,b)) oder auf dem Wege eines Austauschs zunächst von Br gegen Li, dann von X gegen R (Gl. (6)(c,d)) erfolgt sein. Wahrscheinlicher ist nach unseren bisherigen Studien zur Umsetzung von Lithiumorganylen mit Verbindungen des Typus Me, SiX-CBr(SiMe,), [10] letzterer Reaktionsweg, wobei der X/R-Tausch (Gl. (6)(d)) seinerseits über das Silaethen 3 erfolgen sollte [11], das durch LiX-Eliminierung aus 3 · X/Li entsteht und durch RLi-Addition wieder verschwindet.

Zur Verhinderung der unerwünschten Substitution von X in 3·X/Br gegen R wurde schließlich das sperrige Supersilylnatrium 'Bu₃SiNa in THF bei -78° C mit 3·F/Br zur Reaktion gebracht. Hierbei entsteht in quantitativer Ausbeute gemäß Gl. (7)(a) die erwünschte Quelle 3·F/Na für das Silaethen 3, welche allerdings in Abwesenheit von Me₃SiCl (s. unten) im Medium THF mindestens bis 100°C metastabil ist.

Anders als das Br-Atom der Verbindung 3 · F/Br läßt sich das Br-Atom der mit 3 · F/Br verwandten

Verbindung 'Bu2SiF-CBr(SiMe3)2 nicht mit 'Bu3SiNa gegen Na ersetzen. Tatsächlich führt letztere Reaktion gemäß 'Bu₂SiF-CBr(SiMe₃)₂ + 'Bu₃SiNa → 'Bu₂SiF-C(SiMe₃)₂ + NaBr + Bu₃Sir intermediär zu Radikalen, die sich durch Folgereaktionen stabilisieren [5]. Offensichtlich ist hiernach für eine erfolgreiche Br/Na-Substitution die Hilfestellung des siliciumgebundenen Fluors notwendig, das im Falle von 3 · F/Br, nicht aber im Falle von 'Bu₂SiF-CBr(SiMe₃)₂ sterisch gut zugänglich ist. Setzt man andererseits 3 · F/Br mit dem sperrigen Lithiumorganyl (Me₃Si)₂CHLi in THF bei - 78°C um. so deuten die gebildeten Produkte Me, SiF- $CH(SiMe_3)(SiR^tBu_2)$ (R = tBu , $CH_2CMe=CH_2$) anstelle von Me2SiF-CLi(SiMe3)(Si'Bu3) auf einen gemäß 3 · F/Br + (Me₃Si)₂CHLi → Me₂SiF -C(SiMe₃)(Si¹Bu₃) + LiBr + (Me₃Si)₂CH² initiierten radikalischen Reaktionsverlauf.

4. Erzeugung, Nachweis und Stabilisierung des Silaethens Me₂Si=C(SiMe₃)(Si¹Bu₃)

Die eingangs erwähnte Methode der Erzeugung von Silaethenen durch Me₂SiC1-induzierte thermische Salzeliminierung (Gl. (1)), mit deren Hilfe etwa das THF-Addukt 2 · THF des Silaethens Me₂Si=C(SiMe₃)-(SiMe'Bu₂) (2) aus Me₂SiF-CM(SiMe₃)(SiMe'Bu₂) (M = Li) in THF-Et₂O synthetisiert werden konnte [2], ließ sich auf die Erzeugung des Silaethens 3 übertragen: Die bis über 100°C in THF metastabile 3-Quelle Me₂SiF-CM(SiMe₃)(Si'Bu₃) (M = Na; s. oben) eliminiert MF nach Zugabe von Me₃SiCl bereits bei - 78°C unter Bildung der Verbindung 3, die in THF wohl als Addukt 3 · THF vorliegt (vgl. Gl. (7)(b)).

Während sich aber das Addukt 2 · THF durch "Abschleppen" des Tetrahydrofurans mit Benzol in das "nackte" Silaethen 2 überführen läßt, stabilisiert sich 3 in THF-Lösung im Zuge des Abkondensierens von THF unter intramolekularer Umlagerung in das 1,3-Disi-lacyclobutan 7 (Gl. (7)(c)).

Daß 3 in der Tat einen Bestandteil der mit Me₃SiCl behandelten THF-Lösungen von 3·F/Na darstellt, läßt sich durch Abfangen des betreffenden Silaethens mit geeigneten Reaktanden beweisen. So bildet 3 mit Methanol ein Insertionsprodukt (vgl. 3·OMe/H, Gl. (8)(a)), mit Aceton ein En-Reaktionsprodukt (vgl. 8, Gl. (8)(b)) sowie mit 2,3-Dimethylbutadien (DMB) ein [4+2]-Cycloaddukt (vgl. 9, Gl. (8)(c)) neben einem weiteren, noch nicht charakterisierten Produkt (möglicherweise ein Folgeprodukt eines zunächst gebildeten En-Re:ktionsprodukts 10, Gl. (8)(d)). Das Disilacyclobutan 7 reagiert mit den aufgeführten Fängern für 3 erwartungsgemäß nicht.

5. Diskussion der Ergebnisse

Die in Gl. (8) formulierten Insertions-, En-Reaktions-sowie Cycloadditionsprodukte stellen typische Abfangprodukte der Silaethene dar [12]. Demgenüber ist die in Gl. (7)(c) wiedergegebene Stabilisierung von 3 in Abwesenheit von Fängem für Silaethene ungewöhnlich (Silaethene stabilisieren sich normalerweise durch Dimerisierung zu 1,3-Disilacyclobutanen [12]). Letzterer Sachverhalt läßt sich im Zusammenhang mit der Beantwortung der eingangs gestellten Fragen wie folgt erklären: Offensichtlich bedingt die Zunahme sterischer Wechselwirkungen beim Übergang vom Silaethen 2 zum Silaethen 3 eine energetische Stabilisierung und folglich eine Verlängerung

der Lebensdauer der Zwischenstufe der Methylgruppenumlagerungen in Richtung $2b \rightarrow 3b$ (vgl. Gl. (2) und Gl. (3)). Die sich als Vorstufe des Produkts 7 anbietende Verbindung 3b lebt nun so lange, daß eine Protonenwanderung von der verbrückenden Methylgruppe zunn ungesättigten Kohlenstoffatom unter Bildung von 7 möglich wird.

Unter Berücksichtigung des Sachverhalts, daß die Stabilisierung der Silaethene mit einer Umwandlung ihrer π - in eine energieärmere σ -Bindung verbunden ist, stellt die Isolierbarkeit des Silaethens Me2Si=C-(SiMe₃)(SiMe^tBu₂) (2) aus der Verbindungsreihe Me₂Si=C(SiMe₃)(SiMe_{3-n} [†]Bu_n) einen Glücksfall dar: denn die weniger sperrig substituierten Silaethene Me, Si=C(SiMe,)(SiMe,) [10] und wohl auch Me2Si=C(SiMe3)(SiMe2 Bu) stabilisieren sich rasch unter intermolekularer Dimerisierung, während sich das sperriger substituierte und deshalb wohl nicht mehr zur Dimerisierung neigende Silaethen Me, Si=C(SiMe,) (Si^tBu₃) (3) unter intramolekularer Umlagerung stabilisiert. Es drängt sich in diesem Zusammenhang naturgemäß folgende Frage auf: erlangen Silaethene Si=C ganz allgemein bei mittlerer sterischer Abschirmung der ungesättigten Atome maximale Metastabilität?

6. Experimenteller Teil

Alle Untersuchungen wurden unter Ausschluß von Luft und Wasser durchgeführt. Die Darstellung von 1 Bu $_3$ SiCHBr $_2$ [7], (Me $_3$ Si) $_2$ CHLi (Synthese nicht gemäß Lit. [14]), 1 Bu $_3$ SiNa [16] erfolgte nach Literaturvorschriften. Zur Verfügung standen Me $_3$ SiCl, Me $_2$ HSiCl, MeLi in Et $_2$ O, 1 BuLi in Pentan, PhLi in C $_3$ H $_4$ Et $_4$ O, AgF, C $_3$ F $_3$ OH (hieraus C $_4$ F $_3$ OLi durch Zugabe einer äquimolaren Menge 1 BuLi in Pentan), KHF $_3$, CF $_3$ SOJ. H.

Die NMR-Spektren wurden mit Multikerninstrumenten Jeol FX 90Q, Jeol GSX 270, Jeol EX 400 aufgenommen. Die Produktrennungen erfolgten durch präparative HPLC mit einem Gerät 600 der Firma Waters (Säule 21.2 mm × 250 mm; Füllung Zorbax C18: Fluß 21 ml min⁻¹; Detektion UV bei 230 nm, Refraktometrie). Die Molmassen sowie Zusammensetzungen der isolierten Verbindungen wurden anhand der Masse und des Isotopenmusters der M*-sowie der Bruchstückpeaks massenspektrometrisch (Varian CH7) überprüft.

6.1. Darstellung von Me, SiX-CY(SiMe,)(Si'Bu,)

6.1.1. Brom(trimethylsilyl)(tri-tert-butylsilyl)methan (5)
Man tropft zu einer auf -78°C gekühlten Lösung
von 0.762 g (2.05 mmol) 'Bu₃SiCHBr₂ und 0.41 ml
(3.27 mmol) Me₃SiCl in 20 ml THF 0.425 g (2.56 mmol)

(Me3Si)2CHLi in 10ml Et2O und erwärmt das Reaktionsgemisch auf Raumtemperatur. Laut 1H-NMR (C₆D₆) Bildung von ('Bu₃Si)(Me₃Si)CHBr und (Me₃Si)₂CHBr (Identifizierung durch Vergleich mit authentischer Probe [17]). Nach Abkondensieren aller im Ölpumpenvakuum flüchtigen Anteile, Lösen des Rests in Pentan, Abfiltrieren von LiCl erhält man farbloses, öliges ('Bu3Si)(Me3Si)CHBr durch fraktionic nde Destillation des Rückstands als schwerst-flüchtige Komponente ab 100 °C/OV (weitere Reinigung durch HPLC mit MeOH als mobiler Phase: Retentionszeit 16.4 min). ¹H-NMR (C₆D₆, iTMS): $\delta = 0.352$ (s; SiMe₃), 1.20 (s; $Si^{t}Bu_{3}$), 2.68 (s; CH); (CDCl₃, iTMS): $\delta = 0.322$ (s; SiMe₃), 1.20 (s; Si¹Bu₃), 2.66 (s; CH). ¹³C(¹H)-NMR $(C_6D_6, iTMS)$: $\delta = 3.51$ (SiMe₃), 23.83 (3 CMe₃), 31.76 (3 CMe₃), 28.12 (Si₂C). ²⁹Si-NMR (C_6D_6 , eTMS): $\delta = 3.69 \text{ (SiMe}_3), 10.82 \text{ (Si}^1\text{Bu}_3). C_{16}\text{H}_{37}\text{BrSi}_2$ (365.5). Gef.: C, 52.41; H, 10.14. Ber.: C, 52.53; H, 10.20%. MS: m/z = 364/366 (Intensität 1:1; M⁺). Anmerkungen: (1) Das Produktgemisch enthält meist geringe Mengen 'Bu₃SiCH₂Br — siehe Fußnote 3 — (Identifizierung durch Vergleich mit authentischer Probe [17]; ${}^{1}\text{H-NMR}$ (C₆D₆, iTMS): $\delta = 1.082$ (s; Si ${}^{1}\text{Bu}_{3}$), 2.471 (s; CH₂Br)). (2) Verwendet man zur Darstellung von ('Bu₃Si)(Me₃Si)CHBr anstelle von (Me₃Si)₂CHLi das Lithiumorganyl "BuLi, so sinkt die Produktausbeute auf ca. 50%, undes entstehen zudem ('Bu₃Si)CH=CH-(Si'Bu₂) [17] und ('Bu₂Si)(Me₂Si)("Bu)CH. Letztere Verbindung (farblose Flüssigkeit) wurde durch HPLC mit MeOH als mobiler Phase isoliert: Retentionszeit 25.6 min. ¹H-NMR (C_6D_6 , iTMS): $\delta = 0.267$ (s; SiMe₃), 0.880 (m; "Bu), 1.19 (s; Si^tBu₃). ¹³C(¹H}-NMR $(C_6D_6, iTMS)$: $\delta = 4.79 (SiMe_3), 14.19/14.25/$ 23.63/28.14/37.02 (CH-CH₂-CH₂-CH₂-CH₃), 23.42/32.11 (Si¹Bu₃). ²⁹Si-NMR (C₆D₆, eTMS): δ = 4.73 (SiMe₃), 10.90 (Si'Bu₃).

6.1.2. (Dimethylsilyl)(trimethylsilyl(tri-tert-butylsilyl)methan (3 · H / H)

(a) Man fügt zu einer auf $-78\,^{\circ}\mathrm{C}$ gekühlten Lösung von 5.37 g (14.7 mmol) ('Bu₃Si)(Me₃Si):CHBr in 100 ml Et₂O 16.2 mmol PhLi in 100 ml Et₂O-C₆H₆ und erwärmt das Reaktionsgemisch auf Raumtemperatur. Laut NMR-Spektren quantitative Bildung von ('Bu₃Si)(Me₃Si):CHLi × nEt₂O. ('H-NMR (C₆D₆, iTMS): $\delta = -2.04$ (s; CH), 0.338 (s; SiMe₃), 1.29 (s; Si'Bu₃), 0.861 (t; ³ $J_{\rm HH} = 7.08$ Hz; OCH₂CH₃), 2.99 (q; ³ $J_{\rm HH} = 7.08$ Hz, OCH₂CH₃), 2.95 i-MMR (C₆D₆, eTMS): $\delta = -10.44$ (SiMe₃), 12.65 (Si'Bu₃)).

(b) Man erhitzt ein evakuiertes und abgeschmolzenes Bombenrohr, das 12.0 mmol lösungsmittelfreies ('Bu₃Si)(Me₃Si)CHLi × nEt₂O (6 · Me/Li) und 10 ml (91.7 mmol) Me₂HSiCl enthält, 24h auf 100 °C und kühlt dann das Gemisch auf Raumtemperatur ab. Laut ¹H-NMR (C₆H₆) Bildung von 3 · H/H neben etwas

('Bu₃Si)(Me₃Si)CH₂ (Hydrolyseprodukt des Lithiumorganyls, s.u.). Nach Abkondensieren aller im Ölpumpenvakuum flüchtigen Anteile, Lösen des Rests in Pentan, Abfiltrieren von LiCl, Abkondensieren von Pentan. Abdestillieren von ('Bu₃Si)(Me₃Si)CH₂ verbleibt reines 3 · H/H als farbloser Feststoff. H-NMR (C, D, iTMS): $\delta = -0.476$ (s; CH), 0.283 (s; SiMe₃), 0.287/0.403 $(d/d; {}^{3}J_{HH} = 4.12/4.15 \text{ Hz}; \text{ Me/Me von SiMe}_{2}), 1.24$ (s; $Si^{1}Bu_{3}$), 4.84 (sept; ${}^{3}J_{HH} = 4.15 \text{ Hz}$; SiH); (CDCl₃, iTMS): $\delta = -0.492$ (s; CH), 0.251 (s; SiMe₃), 0.266/0.377 (d/d; ${}^{3}J_{HH} = 4.12/4.15$ Hz; Me/Me von SiMe₂), 1.17 (s; Si¹Bu₃), 4.68 (sept; ${}^{3}J_{HH} = 4.15 \text{ Hz}$; SiH). ${}^{13}C({}^{1}H)$ -NMR (C₆D₆, iTMS): $\delta = -3.08$ (Si_3CH) , 0.80/2.56 $(Me/Me von SiMe_2)$, 6.99(SiMe₃), 24.13 (3 CMe₃), 32.89 (3 CMe₃). ²⁶Si-NMR $(C_6D_6, eTMS)$: $\delta = -15.51 (SiMe_2), -1.00 (SiMe_3),$ 16.44 (Si'Bu₃). C₁₈H₄₄Si₃ (344.8). Gef.: C, 61.94; H, 12.23. Ber.: C, 62.70; H, 12.86%. MS: m/z = 344(M+). Anmerkungen: (1) PhLi ist "BuLi als Metallierungsmittel für ('Bu₃Si)(Me₃Si)CHBr vorzuziehen, da gebildetes PhBr anders als gebildetes "BuBr das entstandene Lithiumorganyl nicht organyliert. (2) Nach Versetzen von ('Bu₃Si)(Me₃Si)CHLi (6 · Me/Li) mit MeOH und Abkondensieren aller flüchtigen Anteile verbleibt (Trimethylsilyl)(tri-tert-butylsilyl)methan ('Bu₃Si)(Me₃Si)CH₂ (6 · Me/H) als farbloses Öl. ¹H-NMR (C_6D_6 ; iTMS): $\delta = -0.195$ (s; CH_2), 0.188 (s; SiMe₃), 1.11 (s; Si¹Bu₃). 13 C{¹H}-NMR (C₆D₆, iTMS): $\delta = -3.25 \,(\text{Si}_2\text{C}), 3.60 \,(\text{SiMe}_3), 22.20/31.00 \,(\text{Si}^1\text{Bu}_3).$ ²⁹Si-NMR (C_6D_6 , eTMS): $\delta = 0.40$ (SiMe₃), 13.92 (Si^tBu₃).

- 6.1.3. Brom(bromdimethylsilyl)(trimethylsilyl)(tri-tert-butylsilyl)methan (3·Br/Br), (Bromdimethylsilyl)(tri-methylsilyl)(tri-tert-butylsilyl)methan (3·Br/H), Brom(dimethylsilyl)(trimethylsilyl)(tri-tert-butylsilyl)-methan (3·H/Br)
- (a) Man beläßt eine Lösung von 9.45 mmol MeLi und 2.79 g (8.08 mmol) Me₂SiH–CH(SiMe₃)(Si³Bu₃) in 35 ml THF einen Tag bei Raumtemperatur. Laut NMR-Spektren Bildung von Me₂SiH–CLi-(SiMe₃)(Si³Bu₃)× nTHF. 1 H-MMR (THF, iTMS): δ = 0.005 (s; SiMe₃), 0.018 (d; $^3J_{\rm HH}$ = 2.42 Hz; SiMe₂), 1.10 (s; Si³Bu₃); (C₆D₆, iTMS): δ = 0.510 (s; SiMe₃), ? (SiMe₂), 1.43 (s; Si³Bu₃), 5.23 (sept; 3J = 4.78 Hz; SiH), 1.37/3.59 (m/m; THF). 2 9Si-NMR (THF, eTMS): δ = -28.61 (SiMe₂), -16.37 (SiMe₃). 7 Li-NMR (THF, eLiCl in THF): δ = 0.077 (CLi).
- (b) Man gibt zur gemäß (a) bereiteten Reaktionslösung zunächst 1 ml (7.98 mmol) HCl-freies Me₃SiCl (zur Entfernung von überschüssigem MeLi gemäß: MeLi + Me₃SiCl → Me₄Si + LiCl), dann nach Ersatz von THF durch Pentan und Kühlen des Reaktionsgemischs auf −78 °C 1.66 ml (16.16 mmol) Br₂. Die auf Raumtemperatur erwärmte Lösung enthält

- laut H-NMR 3 · Br/Br (farbloses Öl). H-NMR (C₆D₆; iTMS): $\delta = 0.623$ (s; SiMe₃), 0.970/1.04 (s/s; Me/Me von SiMe₂), 1.34 (s; Si¹Bu₃); (CDCl₃) $\delta = 0.559$ (s; SiMe₃), 0.981/1.09 (s/s; Me/Me von SiMe₂), 1.34 (s; Si^tBu₃). ¹³C(¹H)-NMR (C₆D₆, iTMS): $\delta = 8.50$ (SiMe₃), 13.56/16.62 (Me/Me von SiMe₂), 26.56 (3 CMe₃), 33.61 (3 CMe₃), 39.13 (CBr). ²⁹Si-NMR $(C_6D_6, eTMS)$: $\delta = 8.21 (SiMe_3), 14.63 (SiMe_2), 22.97$ (Si'Bu₃). C₁₈H₄₂Br₂Si₃ (502.5). Gef.: C, 44.41; H, 7.95. Ber.: C, 43.02; H, 8.42%. MS: m/z =550/502/504 (Intensität 1:2:1; M⁺). Anmerkungen: Gibt man zur gemäß (a) bereiteten Reaktionslösung kein Me₃SiCl, sondern nur Br₂, so bildet sich als Folge der Umsetzung MeLi + Br₂ → MeBr + LiBr; Me₂SiH- $CLi(SiMe_3)(Si^tBu_3) + MeBr \rightarrow Me_2SiH-CMe(SiMe_3) (Si^tBu_3) + LiBr; Me_2SiH-CMe(SiMe_3)(Si^tBu_3) + Br_3$ → 3 · Br/Me auch (Bromdimethylsilyl)(methyl)(trimethylsilyl)(tri-tert-butylsilyl)methan (3 · Bt/Me) (1H-NMR (C_6D_6 , iTMS): $\delta = 0.455$ (s; SiMe₃), 0.815/0.935 (s/s; Me/Me von SiMe₂), 1.23 (s; Si'Bu₃), 1.53 (s; CMe)).
- (c) Fügt man zur gemäß (a) bereiteten und mit Me₃SiCl behandelten auf -78° C gekühlten Lösung 6ml (64.9 mmol) CF₂Br₂, so erhält man quantitativ $3 \cdot H/Br$ (farbloser Feststoff). H-NMR (C₆D₆; jTMS): $\delta = 0.422$ (s; SiMe₃), 0.437/0.545 (d/d; ${}^{3}J_{HH} = 3.80/3.90$ Hz; Me/Me von SiMe₂), 1.36 (s; Si'Bu₃), 5.11 (\approx sept; ${}^{3}J_{HH} = 4.0$ Hz; SiH). 13 C[1 H]-NMR (C₆D₆, iTMS): $\delta = 1.52/3.86$ (Me/Me von SiMe₂), 6.00 (SiMe₃), 26.45/33.44 (Si'Bu₃), 35.36 (CBr). 29 Si-NMR (C₆D₆, eTMS): $\delta = -9.09$ (SiMe₂), 3.30 (SiMe₃), 16.49 (Si'Bu₃). Anmerkung: Br₂ in CCl₄ führt $3 \cdot H/Br$ quantitativ in $3 \cdot Br/Br$ über.
- (d) Br₂ in CCl₄ verwandelt 3 · H/H bei 0 °C quantitativ in 3 · Br/H (farbloses Öl). ¹H-NMR (C₆D₆, iTMS): δ = 0.294 (s; CH), 0.485 (s; SiMe₃), 0.850/0.869 (s/s; Me/Me von SiMe₂), 1.18 (s; Si¹Bu₃). ¹³C[¹H]-NMR (C₆D₆, iTMS): δ = 5.29 (CH), 9.27 (SiMe₃), 12.87/14.95 (Me/Me von SiMe₂), 23.66/32.93 (Si³Bu₃). ²⁹Si-NMR (C₆D₆, eTMS): δ = 0.07 (SiMe₃), 20.91 (Si³Bu₃), 26.73 (SiMe₂).
- 6.1.4. Brom(fluordimethylsilyl)(trimethylsilyl)(tri-tertbutylsilyl)methan (3 · F / Br), (Fluordimethylsilyl)(trimethylsilyl)(tri-tert-butylsilyl)methan (3 · F / H), (Fluordimethylsilyl)(methyl)(trimethylsilyl)(tri-tert-butylsilyl)methan (3 · F / Me)
- (a) Eintägiges Erhitzen von 1.365 g (2.716 mmol) $3 \cdot Br/Br$ und 2.420 g (30.99 mmol) KHF, in 40 ml MeOH auf Siedetemperatur führt laut ¹H-NMR quantitativ zu $3 \cdot F/Br$, das nach Abkondensieren aller im Ölpumpenvakuum flüchtigen Anteile, Aufnehmen des Rests in Pentan, Abfiltrieren unlöslicher Anteile, Abkondensieren von Pentan als farbloser Feststoff verbleibt. ¹H-NMR (C_6D_6 , iTMS): $\delta = 0.354$ (s;

SiMe₃), 0.506/0.642 (d/d; ${}^{3}J_{HF} = 8.06/9.53 \text{ Hz};$ Me/Me von SiMe₂), 1.36 (s; Si'Bu₃); (CDCl₃, iTMS): $\delta = 0.420$ (s; SiMe₃) 0.620/0.632 (d/d; ${}^{3}J_{HF} = 8.06/9.53 \text{ Hz};$ Me/Me von SiMe₂), 1.29 (s; Si'Bu₃). ${}^{13}C_{1}^{1}H$ NMR (C₆D₆, iTMS): $\delta = 4.59/5.05$ (d/d; ${}^{2}J_{CF} = 18.32/16.85 \text{ Hz};$ Me/Me von SiMe₂), 5.29 (SiMe₃), 25.87/33.14 (d/breit; ${}^{3}J_{CF} = 3.67 \text{ Hz};$ Si'Bu₃), 31.61 (d; ${}^{2}J_{CF} = 21.29;$ CBr). ${}^{29}Si\text{-NMR}$ (C₆D₆, eTMS): $\delta = 0.55$ (d; ${}^{3}J_{SiF} = 8.30 \text{ Hz};$ SiMe₂), 21.87 (Si'Bu₃), 27.93 (d; ${}^{1}J_{SiF} = 299.8 \text{ Hz};$ SiMe₂). ${}^{19}F\text{-NMR}$ (C₆D₆, eCFCl₃ in [D₆]-Aceton): $\delta = -122.2$ (sept; ${}^{3}J_{FH} = 8.55 \text{ Hz};$ SiF). C₁₈H₄₂BrFSi₃ (441.7). Gef.: C, 48.10; H, 8.71. Ber.: C, 48.95; H, 9.58%. MS: m/z = 440/442 (Intensität 1:1; M*).

(b) Eintägiges Rühren einer Suspension von 0.820 g (1.93 mmol) 3 · Br/H und 0.675 g (5.32 mmol) AgF in 20 ml THF bei Raumtemperatur führt — laut ¹H-NMR — quantitativ zu 3 · F/H (farbloser Feststoff). 1H-NMR $(C_6D_6, iTMS)$: $\delta = -0.052$ (d; $^3J_{HF} = 1.46$ Hz; CH), 0.242 (s; SiMe₃), 0.357/0.451 (d/d; ${}^{3}J_{HF} =$ $8.55/8.79 \, \text{Hz}$; Me/Me von SiMe₂), 1.23 (s; Si¹Bu₃). $^{3.5}_{Cl}^{1}_{H}$ -NMR (C₆D₆, iTMS): $^{5}_{C}$ = 2.89 (d; $^{2}_{J_{CF}}$ = 19.23 Hz; CH), 5.08/6.30 (d/d; $^{2}_{J_{CF}}$ = 19.05/18.55 Hz; Me/Me von SiMe₂), 7.26 (d; $^{4}_{J_{CF}}$ = 1.46 Hz; SiMe₃), 23.83 (3 CMe₃); 32.83 (d; ${}^{5}J_{CF} =$ 1.40 Hz; $SIMe_3$, 25.85 (3 CMe₃); 32.85 (G; $J_{CF} = 3.42$ Hz; 3 CMe₃). $^{29}Si-NMR$ (C₆D₆, eTMS): $\delta = -4.44$ (d; $^{3}J_{SIF} = 8.30$ Hz; $SiMe_3$), 20.00 (Si $^{19}Bu_3$), 27.48 (d; $^{1}J_{SIF} = 287.6$ Hz; $SiMe_2$). $^{19}F-NMR$ (C₆D₆, eCFCl₃ in [D₆]-Aceton): $\delta = -123.6$ (\approx sept; $^{3}J_{FH} = -123.6$ (\approx sept; $^{3}J_{FH}$ 8.54 Hz; ${}^{1}J_{FSi} = 288.1$; Me₂SiF). C₁₈H₄₃FSi₃ (362.8). Gef.: C, 58.88; H, 11.13. Ber. C, 59.59; H, 11.94%. MS: m/z = 362 (M⁺). Amnerkung: (1) Neben $3 \cdot F/H$ kann durch 3 · Br/H-Hydrolyse auch etwas 3 · OH/H (s.u.) entstehen. Trennung durch HPLC mit MeOH als mobiler Phase: Retentionszeiten 9.6 min (3 · OH/H), 16.0 min $(3 \cdot F/H)$. (2) $3 \cdot F/H$ entsteht auch aus $3 \cdot$ Br/H und KHF2 in siedendem Methanol.

(c) Dreitägiges Rühren einer Suspension von 3·Br/Me und AgF in THF bei Raumtemperatur oder 20stündiges Rühren einer Lösung von 3·Br/Me und KHF2 in MeOH bei 50°C führt in analoger Weise wie unter (a) und (b) beschrieben quantitativ zu 3·F/Me (farbloser Feststoff). ¹H-NMR (C₄D₆, iTMS). δ = 0.205 (d; SiMe₃), 0.267/0.538 (d/d; 3 J_{HF} = 9.52/8.55 Hz; Me/Me von SiMe₂), 1.31 (d; 4 J_{HF} = 0.98 Hz; Si'Bu₃), 1.51 (d; 4 J_{HF} = 1.22 Hz; CMe). 13 Cl'H]-NMR (C₆D₆, iTMS): δ = 3.04 (d; 2 J_{CF} = 19.66), 5.30 (SiMe₃), 5.43/8.42 (d/d; 3 J_{GF} = 0.86 Hz; C*Me*), 25.70 (breit; 3 CMe₃), 33.33 (d; 3 J_{GF} = 3.85 Hz; 3 C*Me*₃), 2°Si-NMR (C₆D₆, eTMS): δ = -0.344 (d; 3 J_{SiF} = 10.75 Hz; SiMe₂), 19.65 (Si'Bu₃), 32.75 (d; 1 J_{SiF} = 10.75 Hz; SiMe₂). 19·F-NMR (C₆D₆, eCFCl₃ in [D₆]-Aceton): δ = -121.7 (sept; 3 J_{FH} = 9.76 Hz; Me₂SiF). δ = -121.7 (sept; 3 J_{FH} = 9.76 Hz; Me₂SiF). C₁₉J₄₅FSi₃ (376.8). Gef.: C, 59.42; H, 11.89. Ber.: C, 60.56; H, 12.04%. MS: m/z = 376 (M*).

6.1.5. (Hydroxydimethylsilyl)(trimethylsilyl)(tri-tert-butylsilyl)methan $(3 \cdot OH/H)$. (Methoxydimethylsilyl)(trimethylsilyl)(tri-tert-butylsilyl)methan $(3 \cdot OC_6F_5/H)$. (Dimethylpentafluorphenoxysilyl)(trimethylsilyl)(tri-tert-butylsilyl)methan $(3 \cdot OMe/H)$

(a) Beim Versetzen von (3 · Br/H) mit H,O erhält man quantitativ $3 \cdot$ OH/H (farbloses Öl). 11 H-NMR (C₆D₆, iTMS): δ = -0.111 (s; CH), 0.289/0.390 (s/s; Me/Me von SiMe₂), 0.316 (s; SiMe₃), 1.12 (s; OH), 1.26 (s; Si¹Bu₃). 13 C[11 H]-NMR (C₆D₆, iTMS): δ = 3.33 (CH), 7.88 (SiMe₂), 6.85/8.22 (s/s; Me/Me von SiMe₂), 23.76/33.01 (Si¹Bu₃). 25 Si-NMR (C₆D₆, eTMS): δ = -3.69 (SiMe₃), 12.57 (SiMe₂), 19.76 (Si¹Bu₃). MS: m/z = 360 (M $^{+}$).

(b) Beim Versetzen von $3 \cdot \text{Br/H}$ mit MeOH erhält man quantitativ $3 \cdot \text{OMe/H}$ (farbloses \eth)). H-NMR (C_6D_6 , iTMS): $\delta = -0.078$ (s; CH), 0.267/0.327 (s/s; Me/Me von SiMe₂), 0.327 (s; SiMe₃), 1.29 (s; Si¹Bu₃), 3.06 (s; OMe). 13 C¹¹H)-NMR (C_6D_6 , iTMS): $\delta = 2.41$ (CH), 2.69/3.99 (Me/Me von SiMe₂), 23.97/32.88 (Si¹Bu₃), 48.26 (OMe). 29 Si-NMR (C_6D_6 , eTMS): $\delta = -3.63$ (SiMe₃), 15.15 (SiMe₂), 20.28 (Si¹Bu₃). MS: m/z = 374 (M⁺).

(c) Man erwärmt 0.062 g (0.326 mmol) LiOC₆F₅ und 0.089 g (0.189 mmol) 3 · Br/H in 1 ml THF 30 min auf 55°C. Laut 1H-NMR quantitative Bildung von 3. OC₆F₅/H. Nach Zugabe von 0.2 ml MeOH zur Reaktionslösung, Abkondensieren aller im Ölpumpenvakuum flüchtigen Anteile, Zugabe von Pentan, Abfiltrieren unlöslicher Anteile, Abkondensieren von Pentan verbleibt 3 · OC₆F₅/H als farbloser Feststoff. ¹H-NMR $(C_6D_6, iTMS)$: $\delta = 0.155$ (s; CH), 0.330 (s; SiMe₃), 0.368/0.458 (s/s; Me/Me von SiMe₂), 1.23 (s; $Si^{t}Bu_{3}$); (CDCl₃, iTMS): $\delta = 0.158$ (s; CH), 0.343 (s; SiMe₃), 0.406/0.458 (s/s; Me/Me von SiMe₂), 1.19 (s; Si¹Bu₃). 13 C{¹H}-NMR (CDCl₃, iTMS): δ = 2.61 (CH), 5.08/5.39 (Me/Me von SiMe₂), 8.01 (SiMe₃), 23.66/32.63 (Si¹Bu₃), 129/135/139/143 (m/m/m/m; p-/o-/m-/i-C von C₆F₅). ²⁹Si-NMR (CDCl₃, eTMS): $\delta = -2.55$ (SiMe₃), 20.29 (Si¹Bu₃), 24.90 (SiMe₂). ¹⁹F-NMR (CDCl₃, eCFCl₃ in [D₆]-Aceton): $\delta = -164.7$ (d von d; ${}^{3}J_{FF} = 21.98$ Hz; ${}^{4}J_{FF} =$ 4.27 Hz, 2 p-F von C_6F_5), -162.5 (d; ${}^3J_{FF} = 20.05$ Hz; m-F von C_6F_5), -153.8 (d; ${}^3J_{FF} = 21.97$ Hz; 2 o-F von C₆F₅). C₂₄H₄₃F₅OSi₃ (526.8). Gef.: C, 54.93; H, 8.06. Ber.: C, 54.71; H, 8.2%. MS: m/z = 526 (M⁺).

6.1.6. Brom(hydroxydimethylsilyl)(trimethylsilyl)(tritert-butylsilyl)methan (3 · OH / Br), Brom(dimethyltriflatosilyl)(trimethylsilyl)(tri-tert-butylsilyl)methan (3 · OTf / Br)

(a) Beim Versetzen von (3 · Br/Br) mit H_2O erhält man quantitativ 3 · OH/Br (farbloses Öl). 1 H-NMR (C_6D_6 , iTMS): δ = 0.085 (s; SiMe₃), 0.477/0,550 (s/s; Me/Me von SiMe₂), 1.27 (s; Si¹Bu₃), 2.72 (s; OH). $^{13}C\{^1$ H}-NMR (C_6D_6 , iTMS): δ = 1.97 (SiMe₃),

2.38/3.55 (Me/Me von SiMe₂), 23.93/31.67 (Si¹Bu₃), 28.33 (CBr). ²⁹Si-NMR (C₆D₆, eTMS): δ = 2.07 (SiMe₃), 8.73 (SiMe₂), 10.68 (Si¹Bu₃). MS: m/z = 438/440 (Intensität 1:1; M⁺).

(b) Man tropft zu 0.160 g (0.378 mmol) 3 · H/Br in $5 \text{ ml } C_6H_6 0.05 \text{ ml } (0.570 \text{ mmol}) \text{ CF}_3SO_3H = \text{TfOH in}$ 3 ml C₆H₆ und beläßt die Lösung 5 h bei Raumtemperatur. Laut 'H-NMR quantitive Bildung von 3 · OTf/Br. Nach Abkondensieren aller im Ölpumpenvakuum flüchtigen Anteile verbleibt 3 · OTf/Br als farbloser Feststoff. ¹H-NMR (C_6D_6 , iTMS): $\delta = 0.357$ (s; $SiMe_3$), 0.831/0.913 (s/s; Me/Me von $SiMe_2$), 1.24 (s; $Si^{1}Bu_{3}$); (CDCl₃, iTMS): $\delta = 0.507$ (s; $SiMe_{3}$), 0.962 (s; SiMe₂), 1.31 (s; Si¹Bu₃). ¹³C(¹H)-NMR $(C_6D_6, iTMS)$: $\delta = 7.68 (SiMe_3), 7.24/8.84 (Me/Me)$ von SiMe₂), 26.36/33.25 (Si¹Bu₃), 36.80 (CBr), 119.0 $(q; {}^{1}J_{CF} = 318.3 \text{ Hz}; \text{ CF}_{3}). {}^{29}\text{Si-NMR (C}_{6}D_{6}, \text{ eTMS)}:$ $\delta = 5.61 \text{ (SiMe}_3), 23.49 \text{ (Si}^{1}\text{Bu}_3), 31.36 \text{ (SiMe}_2). ^{19}\text{F-}$ NMR (C₆D₆; eCFCl₃ in [D₆]-Aceton): $\delta = -75.55$ (CF₃). MS: m/z = 570/572 (Intensität: 1:1, M⁺).

6.1.7. Bis(trimethylsilyl)(tri-tert-butylsilyl)methan (3 · Me / H), (n-Butyldimethylsilyl)(trimethylsilyl)(tri-tert-butylsilyl)methan (3 · nBu / H), (Dimethylphenylsilyl)-(trimethylsilyl)(tri-tert-butylsilyl)methan (3 · Ph / H)

(a) Man beläßt eine Lösung von 0.076 g (0.209 mmol) $3 \cdot F/H$ und 0.300 mmol MeLi in 2 ml THF-1 ml $E_{12}O$ 24h bei $-30^{\circ}C$, ersetzt dann das Medium durch 3 ml $E_{12}O$ und gibt 0.5 ml (0.973 mmol) B_{12} in 2 ml $E_{12}O$ zur auf $-78^{\circ}C$ gekühlten Lösung. Laut 1H -NMR Bildung von $3 \cdot Me/H$ und $3 \cdot F/Br$ in etwa gleichen Mengen. Die Trennung erfolgte durch HPLC mit MeOH als mobiler Phase: Retentionszeiten 22.4 min ($3 \cdot F/Br$; Identifizierung durch Vergleich mit authentischer Probe; s. oben), 25.2 min ($3 \cdot Me/H$; farbloser Feststoff). 1H -NMR (C_6D_6 , 1TMS): $\delta = -0.296$ (s; CH), 0.376 (s; CH), 0.386 (c) CH), 0.386

(b) Man fügt zu einer auf $-78\,^{\circ}\mathrm{C}$ gekühlten Lösung von 0.065 g (0.130 mmol) $^{\circ}$ 3 Br/Br in 0.1 ml THF-1 ml Pentan 0.135 mmol $^{\circ}$ 8 BuLi in 0.09 ml Hexan und erwärmt die Lösung nach 1 h auf Raumtemperatur. Laut NMR Bildung einer nicht näher charakterisierten Substanz neben $^{\circ}$ 3 "Bu/Li ($^{\circ}$ 95i-NMR ($^{\circ}$ 6, e TMS): $^{\circ}$ 8 = $^{\circ}$ 13.39 (SiMe₃), $^{\circ}$ 10.68 (SiMe₂), 12.98 (Si'Bu₃)). Nach Zugabe von MeOH zum Reaktionsgemisch, Abkondensieren aller im Ölpumpenvakuum flüchtigen Anteile, Aufnahme des Rests in Pentan, Abfiltirieren unlöslicher Anteile erfolgte die Trennung durch HPLC mit MeOH als mobiler Phase: Retentionszeiten: 23.2 min (nicht charakterisiert), 35.2 min ($^{\circ}$ 3 "Bu/H; farbloser Feststoff). $^{\circ}$ 1H-NMR ($^{\circ}$ 6, $^{\circ}$ 6, iTMS): $^{\circ}$ 8 = $^{\circ}$ 0.247 (s; OH), 0.401 (s; SiMe₃), 0.401 (s; SiMe₂), 0.925 (m; $^{\circ}$ 8u), 1,24 (s; Si'Bu₃). $^{\circ}$ 1°C['H]-NMR ($^{\circ}$ 6, $^{\circ}$ 6, iTMS):

 δ = -0.54 (CH), 6.23/7.29 (Me/Me von SiMe₂), 9.14 (SiMe₃), 14.06/22.25/27.12/27.25 (*Bu), 23.61/32.99 (Si*Bu₃). ²⁹Si-NMR (C₆D₆, eTMS): δ = -0.93 (SiMe₃), 0.93 (SiMe₂), 19.45 (Si*Bu₃). MS: m/z = 400 (M⁺).

(c) Man fügt zu einer auf -78°C gekühlten Lösung von 0.017g (0.030 mmol) 3 · OTf/Br in 0.5 ml Et₂O 0.028 mmol PhLi in 0.02 ml Et₂O-C₆H₆ und erwärmt die Lösung nach 2h auf Raumtemperatur. Laut NMR Bildung von 3 · Ph/Li (29 Si-NMR (D_8 -Toluol): $\delta =$ -8.63 (SiMe₃, SiMe₂), 18.50 (Si¹Bu₃); ⁷Li-NMR (D_8 -Toluol): $\delta = -2.04$). Nach Zugabe von MeOH zum Reaktionsgemisch, Abkondensieren aller im Ölpumpenvakuum flüchtigen Anteile, Aufnahme des Rests in Pentan, Abfiltrieren unlöslicher Anteile erfolgte die Reinigung durch HPLC mit MeOH als mobiler Phase: Retentionszeit 26.0 min (3 · Ph/H; farbloser Feststoff). ¹H-NMR (C_6D_6 , iTMS): $\delta = 0.439$ (s; CH), 0.297 (s; SiMe₃), 0.583/0.616 (s/s; Me/Me von SiMe₂), 1.23 (s; Si^tBu₃), 7.17/7.58 (m/m; o-,p-/m-H von Ph). 13 C(¹H)-NMR (C₆D₆, iTMS): $\delta = -4.18$ (CH), 8.73 (SiMe₃), 6.56/10.25 (Me/Me von SiMe₂), 23.71/32.85 (Si¹Bu₃), 127.6/127.7/132.6/145.7 (m-/p-/o-/i-C von Ph). ²⁹Si-NMR (C₆D₆, eTMS): δ = -4.02 (SiMe₂), -0.21 (SiMe₃), 19.89 (Si¹Bu₃). MS: $m/z = 420 \, (M^+).$

6.2. Metallierung von Me2SiX-CY(SiMe3)(Si'Bu3)

6.2.1. Umsetzung von $3 \cdot F/H$ bzw. $3 \cdot OC_6F_5/H$ mit MeLi

(a) Man beläßt eine Lösung von 0.060 g (0.165 mmol) 3 · F/H und 0.320 mmol MeLi in 1 ml THF 40 min bei Raumtemperatur. Laut NMR Bildung von 31% 3 · F/Li ¹H-NMR (THF, iTMS): $\delta = 1.12$ (s; Si^tBu₂). ¹⁵F-NMR (THF; eCFCl₃ in $[D_6]$ -Aceton): $\delta = -119.3$ (sept; $^3J_{\text{FH}}$ = 8.54 Hz; SiF)), 48% 3 · Me/H (Identifizierung durch Vergleich mit authentischer Probe; s. oben), 21% 6. Me/Li (Identifizierung durch Vergleich mit authentischer Probe; s. oben). Nach Zusatz von 0.2 ml MeOH enthält die Reaktionslösung laut ¹H-NMR (C₆D₆, iTMS) 30% 3 · OMe/H, 45% 3 · Me/H und 25% 6 · Me/H (Identifizierung der Verbindungen durch Vergleich mit authentischen Proben; s. oben). Die Trennung der Produkte kann durch HPLC mit MeOH als mobiler Phase erfolgen: Retentionszeiten 14.8 min (6 · Me/H), 20.4 min (3 · OMe/H), 25.0 min (3 · Me/H). Anmerkungen: (1) Die aus Methanol und 3 · F/Li zunächst freigesetzten Produkte MeOLi und 3 · F/H reagieren zu LiF und 3 · OMe/H weiter. (2) Metalliert man analog (a) bei -30° C, so bilden sich 49% $3 \cdot F/Li$, 46% 3 · Me/H und nur 5% 6 · Me/Li. (3) Läßt man die gemäß (a) benutzte Reaktionslösung in Anwesenheit überschüssigen Methyllithiums längere Zeit (Tage) stehen, so wird 3 · Me/H zu ('Bu₃Si)(Me₃Si)₂CLi metal(b) Man beläßt eine Lösung von 0.090 g (0.171 mmol) $3 \cdot \text{OC}_6F_5/\text{H}$ und 0.320 mmol MeLi in 1 ml THF 40 min bei Raumtemperatur. Laut NMR Bildung von $3 \cdot \text{OC}_6F_5/\text{Li}$ ($^1\text{H-NMR}$ (THF, iTMS): $\delta = 0.081$ (s; SiMe $_3$), 1.13 (s; Si'Bu $_3$). $^{29}\text{Si-NMR}$ (THF, eTMS): $\delta = -16.46$ (SiMe $_3$), 10.01 (Si'Bu $_3$)), $3 \cdot \text{Me}/\text{H}$ (s. oben) und $6 \cdot \text{Me}/\text{Li}$ (s. oben). Nach Zugabe von 0.2 ml MeOH enthält die Reaktionslösung laut $^1\text{H-NMR}$ (C_6D_6 , iTMS) 33% $3 \cdot \text{OMe}/\text{H}$, 53% $3 \cdot \text{Me}/\text{H}$ und 14% $6 \cdot \text{Me}/\text{H}$ (Identifizierung der Proben durch Vergleich mit authentischen Proben, s. oben).

(c) Man beläßt eine Lösung von 0.090 g (0.171 mmol) 3 · OC₆F₅/H und 0.320 mmol MeLi in 1 ml THF 2d bei −78 °C. Laut NMR Bildung von (meta-) und (para-Methyltetrafluorphenoxydimethylsilyl(\trimethylsilyl)\trimethylsilyl\trimeth

Nach Abkondensieren aller im Ölpumpenvakuum flüchtigen Anteile, Lösen des Rests in Pentan, Abfiltrieren von Ungelöstem, Abkondensieren von Pentan, verbleibt das Isomergemisch A + B als farbloser Feststoff. H-NMR (C₆D₆, iTMS): $\delta = 0.212$ (s; breit, CH von A + B), 0.360 + 0.375 (s + s; SiMe, von A + B), 0.452/0.544 (s/s; breit/breit; Me/Me von SiMe, von A + B), 1.28 + 1.29 (s + s; $Si^{t}Bu_{3}$ von A + B), 1.73 (m; CMe von $\mathbf{A} + \mathbf{B}$); (CDCl₃, iTMS): $\delta = 0.183$ (s; breit; CH von A + B), 0.376 (s; breit; SiMe, von A + B), 0.420/0.518 (s/s; breit/breit; Me/Me von A + B), 1.24 (s; breit; Si¹Bu₃ von A + B), 2.19 m; CMe von $\mathbf{A} + \mathbf{B}$). ¹³C(¹H)-NMR (C₆D₆, iTMS): $\delta =$ 2.89 (breit; CH von A + B), 5.09/5.50 (breit/breit; Me/Me von SiMe₂ von A + B), 6.56 (breit; Me von C_6F_4 Me von A + B), 8.16 + 8.18 (SiMe₃ von A + B), 23.85 (breit; $3CMe_3$ von A + B), 32.96 + 32.97 ($3CMe_3$ von A + B). $^{29}Si-NMR$ (C_6D_6 , eTMS): $\delta =$ -2.62 (SiMe₃ von A + B), 20.47 (Si¹Bu₃ von A + B), 23.24/23.95 (SiMe₂ von A + B). ¹⁹F-NMR (C₆D₆, eCFCl₃ in [D_6]-Aceton): Isomer A: $\delta = -164.0$ (t von m; ${}^{3}J_{FF} = 23.34 \,\text{Hz}$; F an C-5), $-155.0 \,\text{sowie} -144.2$ (d von m; ${}^{3}J_{FF} = 23.37$ sowie 21.97 Hz; F an C-4 sowie C-6), -133.8 (d; ${}^{4}J_{FF} = 8.55$ Hz; F an C-2); Isomer **B**: $\delta = -150.3$ (d; ${}^{3}J_{FF} = 21.97$ Hz; F an C-3 sowie C-5), -146.0 (d; ${}^{3}J_{FF} = 23.19$ Hz; F an C-2 sowie C-6). MS: m/z = 522 (M⁺). Vgl. Röntgenstrukturanalyse des Isomers B (Sektion 6.4).

6.2.2. Umsetzung von 3·OTf/Br mit PhLi und von 3·Br/Br mit "BuLi bzw. von 3·F/Br mit (Me,Si),CHLi

(a) Bezüglich der Reaktion von 3 · OTf/Br mit PhLi in Et₂O-C₆H₆ sowie von 3 · Br/Br mit ⁿBuLi in THF-Pentan vgl. Sektion 6.1.7.

(b) Zu einer auf −78°C gekühlten Lösung von 0.063 g (0.143 mmol) 3 · F/Br in 0.5 ml THF fügt man 0.024 g (0.144 mmol) (Me₃Si)₂CHLi in 0.5 ml THF, erwärmt die Lösung auf Raumtemperatur, kondensiert alle im Ölpumpenvakuum flüchtigen Anteile ab und lösi den Rest in C₆D₆. Laut ¹⁹F-NMR Bildung von 3 · F/H (Identifizierung durch Vergleich mit authentischer Probe), Me, SiF-CH(SiMe,)(Si'Bu, -CH, CMe=CH,) (C) sowie Me₂SiF-CH(SiMe₃)(Si¹Bu₂-CH=CMe₂) (D). Die Trennung des Reaktionsgemischs erfolgte nach Zugabe von 0.1 ml Aceton durch HPLC mit MeOH als mobiler Phase: Retentionszeiten 10.8 min (16%; nicht charakterisiert), $13.2 \min (38\%, C + D)$, $17.2 \min (46\%, C + D)$ 3 · F/H). Das Gemisch aus C + D wandelt sich innerhalb eines Jahres vollständig in D um. (Fluordimethylsilyl)[(2-methyl-1-propenyl)(di-tert-butyl)silyl](trimethylsilyl) methan (D), farbloses Öl. H-NMR (C6D6, iTMS): $\delta = 0.198$ (s; SiMe₃), 0.340/0.385 (d/d; ${}^{3}J_{HF}$ = 7.91/7.81 Hz; Me/Me von SiMe₂), 1.20/1.22 (s/s; 1 Bu 1 Bu von Si 1 Bu $_{2}$), 1.69/1.75 (breit/breit; Me/Me von =CMe $_{2}$), 5.43 (s; =CH). 13 C(1 H)-NMR (C $_{6}$ D $_{6}$, iTMS): $\delta = 3.76$ (d; ${}^2J_{CF} = 12.80$ Hz; Si₃CH), 4.10/4.94 (d/d; ${}^2J_{CF} = 16.67/17.31$ Hz; Me/Me von SiMe₂), 20.39 (breit; 2CMe₃ von Si¹Bu₂), 29.80/30.14 $(d/d; ^5J_{CF} = 2.57/3.85 \text{ Hz}; CMe_3/CMe_3 \text{ von Si}^1\text{Bu}_2),$ 25.71/30.69 (Me/Me von =CMe₂), 125.5/148.5(C=C). ²⁹Si-NMR (C₆D₆, eTMS): $\delta = -1.46$ (d; ³ J_{SiF} = 8.31 Hz; SiMe₃), 4.93 (Si'Bu₂), 29.69 (d; 1 /S_{iF} = 284.7 Hz; SiMe₂). 19 F-NMR (CFCl₃ in [D_{δ}]-Aceton): δ = 134.6 (sept; 3 / $_{FH}$ = 8.54 Hz; SiF). MS: m/z = 360 (M+). (Fluordimethylsilyl)[(2-methyl-3-propenyl)(ditert-butyl)silyl](trimethylsilyl)methan (C) im Gemisch mit D. H-NMR (C_6D_6 , iTMS): $\delta = 1.82$ (SiCH₂, CMe), 4.86 (=CH₂). $^{12}C_1^{11}H$ -NMR (C_6D_6 , iTMS): $\delta = 112.7/145.1$ (C=C). $^{29}S_1$ -NMR (C_6D_6 , eTMS): δ = -2.04 (d; ${}^{3}J_{SiF}$ = 8.30 Hz; SiMe₃), 14.97 (Si Bu₂), 29.40 (d; ${}^{1}J_{SiF}$ = 286.4; SiMe₂). ${}^{19}F$ -NMR (C₆D₆, CFCl₃ in $[D_6]$ -Aceton): $\delta = -132.0$ (sept; ${}^3J_{\rm FH} =$ 8.55 Hz; SiF).

6.2.3. Umsetzung von 3 · F / Br mit 'Bu 3SiNa

Zu einer auf -78 °C gekühlten Lösung von 0.140 mmol 'Bu₃SiNa in 0.5 ml [D_8]-THF fügt man 0.049 g (0.111 mmol) 3·F/Br in 0.5 ml [D_8]-THF und erwärmt das tiefrote Reaktionsgemisch auf Raumtemperatur. Laut 'H-NMR Bildung von 3·F/Na und 'Bu₃SiBr (Identifizierung durch Vergleich mit authen-

tischer Probe). (FluordimethylsilyI)(trimethylsilyI)(tritert-butylsilyI) methylnatrium (1 / n THF) 3 · F/Na(THF)_n in [D_p]-THF, luft- und hydrolyse-empfindliche Lösung. H-NMR (iTMS): δ = 0.089 (s; SiMe₃), 0.139 (d; ${}^{J}_{\rm HF}$ = 8.79 Hz; SiMe₂), 1.15 (s; breit; Si'Bu₃). ${}^{13}{\rm C}$ (I'HJ-NMR (iTMS): δ = 10.93 (d; ${}^{2}_{\rm CF}$ = 38.83 Hz; SiMe₂), 11.86 (breit; SiMe₃), 24.81 (breit; 3CMe₃), 34.28 (d; ${}^{5}_{\rm CF}$ = 3.66 Hz; 3C Me₃). ${}^{29}{\rm Si-NMR}$ (eTMS): δ = -12.70 (d; ${}^{3}_{\rm JSF}$ = 20.52 Hz; SiMe₃), 17.69 (Si'Bu₃), 24.33 (d; ${}^{I}_{\rm JSF}$ = 272.9 Hz; SiMe₂). ${}^{19}{\rm F}$ -NMR (eCFCI₃ in [$D_{\rm e}$]-Aceton): δ = -119.5 (sept; ${}^{3}_{\rm FH}$ = 8.54 Hz; SiF).

6.3. Erzeugung, Stabilisierung und Reaktivität von Me₂Si = C(SiMe₂)(Si'Bu₂)

6.3.1. Umsetzung von 3 · F / Na mit Me 3 SiCl in THF

Zu einer auf -78 °C gekühlten Lösung von 0.260 mmol 3 · F/Na (aus 0.115 g (0.260 mmol) 3 · F/Br und 0.310 mmol 'Bu₃SiNa) in 1 ml THF kondensiert man 0.1 ml (0.790 mmol) möglichst HCl-freies Me₃SiCl, erwärmt die Lösung auf Raumtemperatur, wobei die tiefdunkelrote in eine hellgelbe Lösungsfarbe übergeht, kondensiert alle im Ölpumpenvakuum flüchtigen Anteile ab und löst den Rest in 0.5 ml C₆D₆. Laut ¹H-NMR hat sich 7 und ^tBu₃SiBr in Molverhältnis 1:1 sowie 'Bu₃Si-SiMe₃ (Folge der Reaktion von überschüssigem 'Bu₃SiNa mit Me₃SiCl) gebildet, laut ¹⁹F-NMR enthält die Lösung keine F-haltige Verbinding. Die Trennung des Reaktionsgemischs erfolgte nach Tausch von C. D. durch Pentan, Abfiltrieren unlöslicher Bestandteile, Abkondensieren von Pentan durch HPLC mit MeOH als mobiler Phase: Retentionszeiten 10.0 ('Bu₃SiBr), 16.4 min ('Bu₃Si-SiMe₃), 22.4 min (7). 1,1,3,3-Tetramethyl-2-(tri-tert-butylsilyl)-1,3-disilacyclobutan (7), farbloses Öl. H-NMR (C₆D₆, iTMS): $\delta = 0.164$ (s, CH), 0.142/0.152 (s/s; H/H von CH₂), 0.414/0.441 (s/s; Me/Me von 2 SiMe₂), 1.15 (s; $Si^{1}Bu_{3}$); (CDCl₃, iTMS): $\delta = -0.212$ (s; CH), 0.033 (s/s; H/H von CH₂), 0.368/0.392 (s/s; Me/Me von 2 SiMe₂), 1.07 (s; Si¹Bu₃). ¹³C(¹H)-NMR (C₆D₆, iTMS): $\delta = 5.34$ (CH₂), 5.85 (CH), 5.91/7.07 (Me/Me von 2 SiMe₂), 22.68 (3 CMe₃), 31.68 (3 CMe₃). ²⁹Si-NMR (C_6D_6 , eTMS): $\delta = 6.10$ (2 SiMe₂), 13.37 (Si¹Bu₃). C₁₈H₄₂Si₃ (342.8). Gef.: C, 59.63; H, 10.30. Ber.: C, 63.07; H, 12.35%. MS: m/z = 342 (M⁺). Anmerkung: Kondensiert man das Reaktionsmedium THF nicht ab, so bleibt die Lösung, die wohl 3 · THF enthält, hinsichtlich einer Reaktion mit DMB (Bildung von 9; s. unten) über langere Zeiträume hinweg aktiv.

6.3.2. Umsetzung von $3 \cdot THF$ mit MeOH, Aceton bzw. DMB

Zu einer auf -78 °C gekühlten Lösung von 0.250 mmol 3 · THF (bereitet, wie oben beschrieben) tropft man 0.15 ml (3.698 mmol) MeOH (I), 0.2 ml

(2.720 mmol) Aceton (II) bzw. 0.3 ml (2.654 mmol) DMB (III), erwärmt auf Raumtemperatur, kondensiert alle im Ölpumpenvakuum flüchtigen Anteile ab (im Falle von C nach 15stündiger Reaktion bei 25°C und anschließender Zugabe von 0.2 ml MeOH zum Reaktionsgemisch), nimmt den Rest in Pentan auf, filtriert unlösliche Anteile ab und trennt die Rückstände nach Abkondensieren von Pentan durch HPLC mit MeOH als mobiler Phase. Retentionszeiten im Falle I: 9.6 min ('Bu₂SiBr), 16.4 min ('Bu₂Si-SiMe₂), 17.6 min (3. F/H; Protolyseprodukt von 3 · F/Na; Identifizierung durch Vergleich mit authentischer Probe), 23.6 min (3 · OMe/H; Hauptanteil; Identifizierung durch Vergleich mit authentischer Probe); II: 10.0 min ('Bu₃SiBr + 3 · OH/H; letzteres, durch Vergleich mit einer authentischen Probe identifizierte Produkt (Hauptprodukt) entstand während der Probenaufbereitung aus 8), 16.4 min ('Bu₃Si-SiMe₃), 17.6 min (3·F/H; s. oben); III: 10.0 min ('Bu₃SiBr), 16.8 min (3 · F/H; s. oben), 25.6 min (nicht charakterisiert), 54.4 min (9; etwa in gleicher Ausbeute wie Produkt bei 25.6 min). [(1-Methylvinyloxy)dimethylsilyl (trimethylsilyl)(tri-tert-butylsilyl)methan, gewonnen in Lösung durch Ersatz von THF der Urreaktionsmischung gegen C₆D₆. ¹H-NMR (C₆D₆, iTMS): $\delta = -0.010$ (s; CH), 0.352 (s; SiMe₃), 0.474/0.592 (s/s; Me/Me von SiMe₂), 1.28 (s; Si^tBu₃), 1.70 (s; CCH₃), 4.18 (breit; CCH₂). (1,1,3,4-Tetramethyl)(6-trimethylsilyl)(6-tri-tert-butylsilyl)-1sila-3-cyclohexen (9), farbloser Feststoff. 1H-NMR $(C_6D_6, iTMS)$: $\delta = 0.422$ (s; SiMe₃), 0.439/0.474 (s/s; Me/Me von SiMe₂), 1.29 (s; Si¹Bu₂), 1.65 (breit; $SiCH_{2}$, 2 CCH_{3}), 2.97 (m; = CH_{2}); (CDCl₃, iTMS): $\delta = 0.272$ (s; SiMe), 0.359/0.424 (s/s; Me/Me von SiMe,), 1.51/1.59 (s/s; H/H von SiCH₂), 1.60/1.67 (CH₃/CH₃ von CMe=CMe), 2.76 (m; CCH₂). $^{13}C(^{1}H)$ -NMR (C_6D_6 , iTMS): $\delta = 5.34$ (Si₃C), 9.21 (SiMe₃), 13.13/13.51 (Me/Me von SiMe₂), 22.15/23.46 (C Me = C Me), 26.09 (3 $C Me_3$) 33.81 (3 CMe₃), 26.83 (SiCH₂), 37.00 (=CH₂), 125.9/130.0 (C=C). ²⁹Si-NMR (C₆D₆, eTMS): $\delta = -3.05$ (SiMe₂), 1.56 (SiMe₃), 18.94 (Si^TBu₃). MS: m/z = 424 (M^T). Anmerkung: Die Reaktion von 3 · THF mit DMB (C) erfolgt bei Raumtemperatur noch sehr langsam.

6.4. Struktur von $Me_2SiX-CH(SiMe_3)(Si^1Bu_3)$ (B) mit $X = p-OC_6F_4Me$ im Kristall

6.4.1. Strukturbeschreibung

Aus Pentan ließ sich B in Form von f_{aa} blosen Kristallen gewinnen, welche durch Röntgenstrukturanalyse charakterisiert wurden. Die Abb. I gibt ein ORTEPPlot von B im Kristall zusammen mit wichtigen Bindungslängen und -winkeln wieder. Mit B wurde erstmals ein Trisilylmethan $(R_3 \operatorname{Si})_3 CH = ('Bu_3 \operatorname{Si})(Me_3 \operatorname{Si})(Me_2 \operatorname{XSi})CH$ mit einer Supersilylgruppe strukturell geklärt. Die hohe Sperrigkeit der

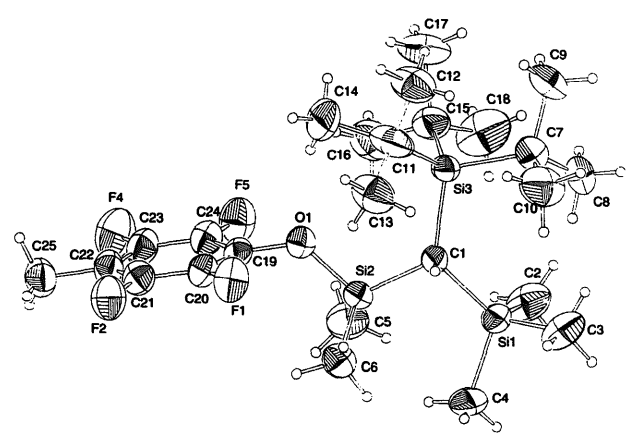


Fig. 1. Struktur von 3 · p-OC₆F₄Me/H = **B** im Kristall und verwendete Atomnumerierung (ortr≡-Plot; thermische Schwingungsellipsoide 60%; H-Atome willkürlich). Wichtige Bindungslängen (Å) und -winkel (") im Moleküll mit Standardabweichungen: Si1-C1 1.931(7), Si2-C1 1.864(8), Si3-C1 1.961(7), Si2-C0 1.677(6), Si2-C5 1.895(12), Si2-C6 1.822(10), Si3-C7/C11/C15 1.961 (Mittelwert). Si1-C1-Si2 105.4(4), Si3-C1-Si1 126.3(4), Si2-C1-Si3 123.0(4), Si2-C1-C19 127.8(5), C7/C11/C15-Si3-C11/C15/C7 109.5 (Mittelwert).

¹Bu₃Si-Gruppe kommt erwartungsgemaß in einem langen ¹Bu₃Si-C-Abstand zum Ausdruck (Si₃-Cl = 1.961 Å; zum Vergleich: SiC in (PhMe₂Si)₃CH = 1.895 Å [18]. Die Summe der drei SiCSi-Winkel beträgt in **B** 354.7°, was einer trigonal-planaren Si₃C-Anordnung (Winkelsumme = 360°) bereits sehr nahe kommt zum Vergleich: Winkelsumme bei Tetraedersymmetrie = 328.5°, in (PhMe, Si)₃CH = 342.0° [18]).

6.4.2. Strukturbestimmung

Enraf-Nonius CAD4 Diffraktometer, Mo Kα-Strahlung, $\lambda = 0.71073 \,\text{Å}$. Vermessen wurde ein Kristall von ca. $0.5 \times 0.5 \times 0.5 \text{ mm}^3$ bei T = 293(2) K. Kristallographische Daten: $C_{25}H_{46}F_4OSi_3$, $M_r = 522.81$, tetragonal, Raumgruppe $P42_1C$: a = 20.095(6), b =20.095(6), c = 14.464(3) Å, $\alpha = 90.00(2)$, $\beta =$ 90.00(2), $\gamma = 90.00(2)^{\circ}$, $V = 5840.7(27) \text{ Å}^3$, Z = 8, ρ_{ber} = 1.189 g cm⁻³, μ = 0.203 mm⁻¹, F(000) = 2256. Datensammlung ω -Scans, $\theta = 2-22^{\circ}$ Index-Bereiche 0 $\leq h \leq 21$, $0 \leq k \leq 21$, $0 \leq l \leq 15$. 3887 Reflexe gemessen, 1996 unabhängig, 1633 beobachtete Reflexe mit $I > 2\sigma(I)$. Strukturlösung: Programm SHELXS 86. Verfeinerung SHELXL 93 mit voller Matrix gegen F^2 , 314 Parameter, 0 Restraints, R1 $[I > 2\sigma(I)] = 0.0660$, wR2 = 0.1770, R1 (alle Daten) = 0.0777, wR2 =0.1899, GOF = 1.054; Restelektronendichte 0.342 und -0.197 e Å -3

Weitere Einzelheiten zur Kristallstrukturuntersuchung können beim Fachinformationszentrum Karlsruhe, D-76344 Eggenstein-Leopoldshafen unter Angabe der Hinterlegungsnummer CSD-405495 angefordert werden.

Dank

Wir danken der Deutschen Forschungsgemeinschaft für die finanzielle Unterstützung der beschriebenen Untersuchungen.

Literaturverzeichnis

- N. Wiberg, Ch.M.M. Finger, T. Passler, S. Wagner und K. Polborn, Z. Naturforsch., 51b (1996).
- N. Wiberg und G. Wagner, Chem. Ber., 119 (1986) 1455; 1467.
 N. Wiberg, G. Wagner, J. Riede und G. Müller, Organometallics,
- 6 (1987) 32. [4] N. Wiberg, H.-S. Hwang-Park, H.-W. Lerner und S. Dick,
- Chem. Ber., 129 (1996) 471. [5] N. Wiberg, H.-S. Hwang-Park, P. Mikulcic und G. Müller, J.
- Organomet. Chem., 511 (1996) 239. N. Wiberg und H.-S.
 Hwang-Park, J. Organomet. Chem., 519 (1996) 107.
 N. Wiberg, J. Organomet. Chem., 273 (1984) 141 und dort zit.
- [6] N. Wiberg, J. Organomet. Chem., 273 (1984) 141 und dort zit. Lit.
- [7] M. Weidenbruch, H. Flott und B. Ralle, Z. Naturforsch. Teil B:, 38 (1983) 1062. M. Weidenbruch und H. Flott, Angew. Chem., 94 (1982) 384; Angew. Chem. Int. Ed. Engl., 21 (1982) 368.
- [8] D. Seyferth, R.L. Lambert und E.M. Hanson, J. Organomet. Chem., 24 (1970) 647. R.L. Merker und M.J. Scott, J. Organomet. Chem., 4 (1965) 98. M.A. Cook, C. Eaborn, A.E. Inkes und D.R.M. Walton, J. Organomet. Chem., 24 (1970) 529.

- [9] C. Eaborn, D.A.R. Happer und K.D. Safa, J. Organomet. Chem., 191 (1980) 355.
- [10] N. Wiberg, G. Preiner, O. Schieda und G. Fischer, Chem. Ber., 114 (1981) 2087, 3505, 3518.
- [11] N. Wiberg, in N. Auner und J. Weis (Hrsg.), Organosilicon Chemistry II, VCH, Weinheim, 1995, S. 367.
- [12] A.G. Brook und M.A. Brook, Adv. Organomet. Chem., 39 (1996) 71.
- [13] P.J. Davidson, D.H. Harris und M.F. Lappert, J. Chem. Soc. Dalton Trans., (1976) 2268 und dort zit. Lit.
- [14] N. Wiberg und G. Wagner, Chem. Ber., 119 (1986) 1455.
 [15] M. Weidenbruch, H. Pesel, W. Peter und M. Streichen, J.
- [15] M. Weidenbruch, H. Pesel, W. Peter und M. Streichen, J. Organomet. Chem., 141 (1977) 9.
- [16] N. Wiberg und K. Schurz, J. Organomet. Chem., 341 (1988) 145.
- [17] R.J. Wrozynski, L.D. Iroff und K. Mislow, J. Org. Chem., 43 (1978) 4236.
- [18] C. Eaborn, P.B. Hitchcock und P.D. Lickiss, J. Organomet. Chem., 269 (1984) 235.